

## داده‌های نوین درباره مرز فرازین - فامنین در برش کال سردر، شرق طبس، ایران مرکزی

حسین غلامعلیان<sup>۱\*</sup>، نسیله زارعی<sup>۲</sup>، واچیک هایراپطیان<sup>۳</sup>، مهناز پروانه نژاد شیرازی<sup>۴</sup>

۱- استادیار گروه زمین‌شناسی، دانشکده علوم پایه، دانشگاه هرمزگان، بندرعباس، ایران

۲- کارشناس ارشد چینه‌شناسی و فسیل‌شناسی، دانشگاه پیام نور، تهران، ایران

۳- استادیار گروه زمین‌شناسی، دانشکده علوم پایه، دانشگاه آزاد اسلامی واحد خوارسگان، اصفهان، ایران

۴- دانشیار گروه زمین‌شناسی، دانشگاه پیام نور، تهران، ایران

\*پست الکترونیک: hossein.gholamalian@yahoo.com

تاریخ پذیرش: 92/9/13

تاریخ دریافت: 91/12/23

### چکیده

مرز فرازین - فامنین در برش کال سردر (شرق طبس، ایران مرکزی) بر اساس زیای کنودونتی مورد بررسی قرار گرفته است. شناسایی 33 گونه و زیرگونه این مکان را فراهم ساخت تا براساس پرکندگی آنها در ستون چینه‌شناسی، یک بخش بدون سنگواره و پنج زیست زون تشخیص داده شود که به ترتیب شامل Upper Lower to Middle triangularis upper part of Upper rhenana – linguiformis، Upper rhenana crepida و Lower triangularis می‌باشد. تجزیه و تحلیل رخساره زیستی کنودونتها نشانگر روند عمیق شدن در طول فرازین پسین می‌باشد که با یک افت شدید سطح آب دریا در ابتدای فامنین پیشین دنبال می‌شود. کمی بعد و دوباره در طول فامنین، محیط عمیقتر بر منطقه حاکم می‌گردد. در این پژوهش محدوده سنی جدیدی برای گونه‌ی *P. planarius* پیشنهاد می‌شود که برابر زیست‌زونهای Lower hassi – linguiformis می‌باشد.

**واژه‌های کلیدی:** فرازین؛ فامنین؛ کنودونت؛ زیست‌زون؛ کال سردر؛ ایران مرکزی.

### مقدمه

فراوانی نیز در سایر مناطق دنیا صورت گرفت که از آن جمله می‌توان به آمریکای شمالی، مراکش، آلمان و چین اشاره کرد (Racki & House, 2002; Morrow, 2000). اکثر این مطالعات بر مبنای کنودونتها یا پابرسران بوده است. مرز فرازین - فامنین همراه با رویداد

در دهه‌های اخیر مطالعات فراوانی بر روی تواليهای مربوط به مرز فرازین - فامنین در سراسر دنیا صورت گرفته که در نتیجه همین بررسیها، برش کومیاک در جنوب فرانسه به عنوان برش الگوی این مرز در نظر گرفته شد (Klapper et al., 1993). به موازات آن، مطالعات

رسوبات که اندازه دانه‌های آن بین ۰/۱ تا ۲ میلی‌متر بود، با استفاده از میکروسکوپ موردن بررسی قرار گرفت. در نهایت، تعداد ۱۵ عدد از نمونه‌ها حاوی کنودونت بودند. تعداد ۵۱۳۱ عدد کنودونت به دست آمد که شامل ۵ جنس و ۳۳ گونه و زیر گونه بود و در آخر نیز زیست زون بندی نیز انجام گرفت.

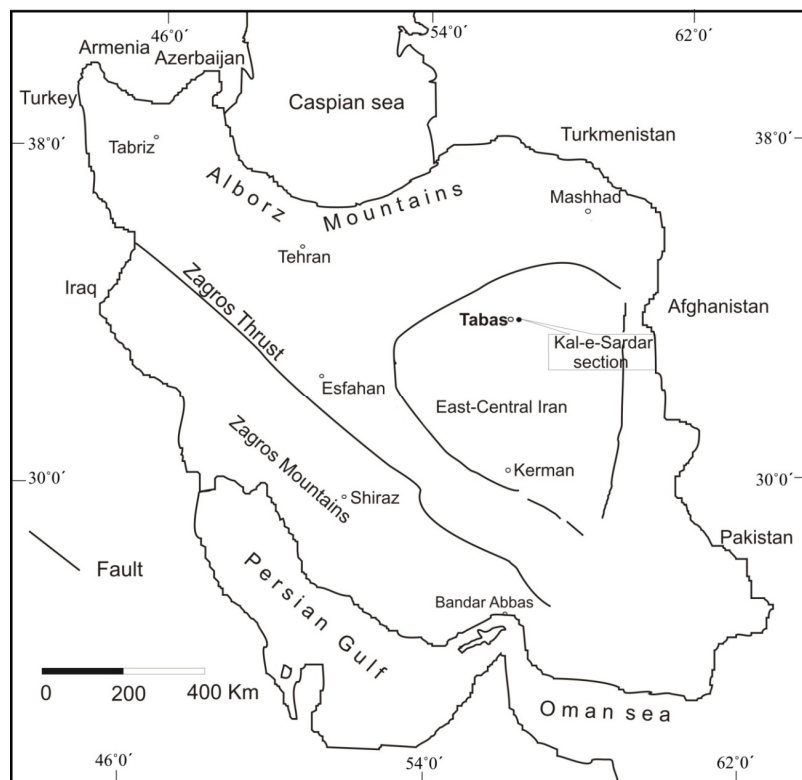
### موقعیت جغرافیایی

برش کال سردر در شرق طبس و در دامنه غربی کوههای شتری قرار دارد. بهترین راه دسترسی به این برش از طریق جاده طبس - خرو بالا است که پس از پیمودن ۲۳ کیلومتر به سد نهرین و مزرعه نیاز می‌رسد. دسترسی به این برش با عبور از عرض رودخانه سردر و طی کردن مسیر چند صد متری ممکن می‌شود (شکل ۱). مختصات قاعده برش نیز ۵۷° E ۳۲/۱° N ۳۹° ۲۹/۹" و ۵۷° E ۳۳° ۳۹' ۲۹/۹" می‌باشد. شکل ۲ نیز نقشه زمین شناسی کوههای شتری و موقعیت برش کال سردر در شرق طبس را نشان می‌دهد.

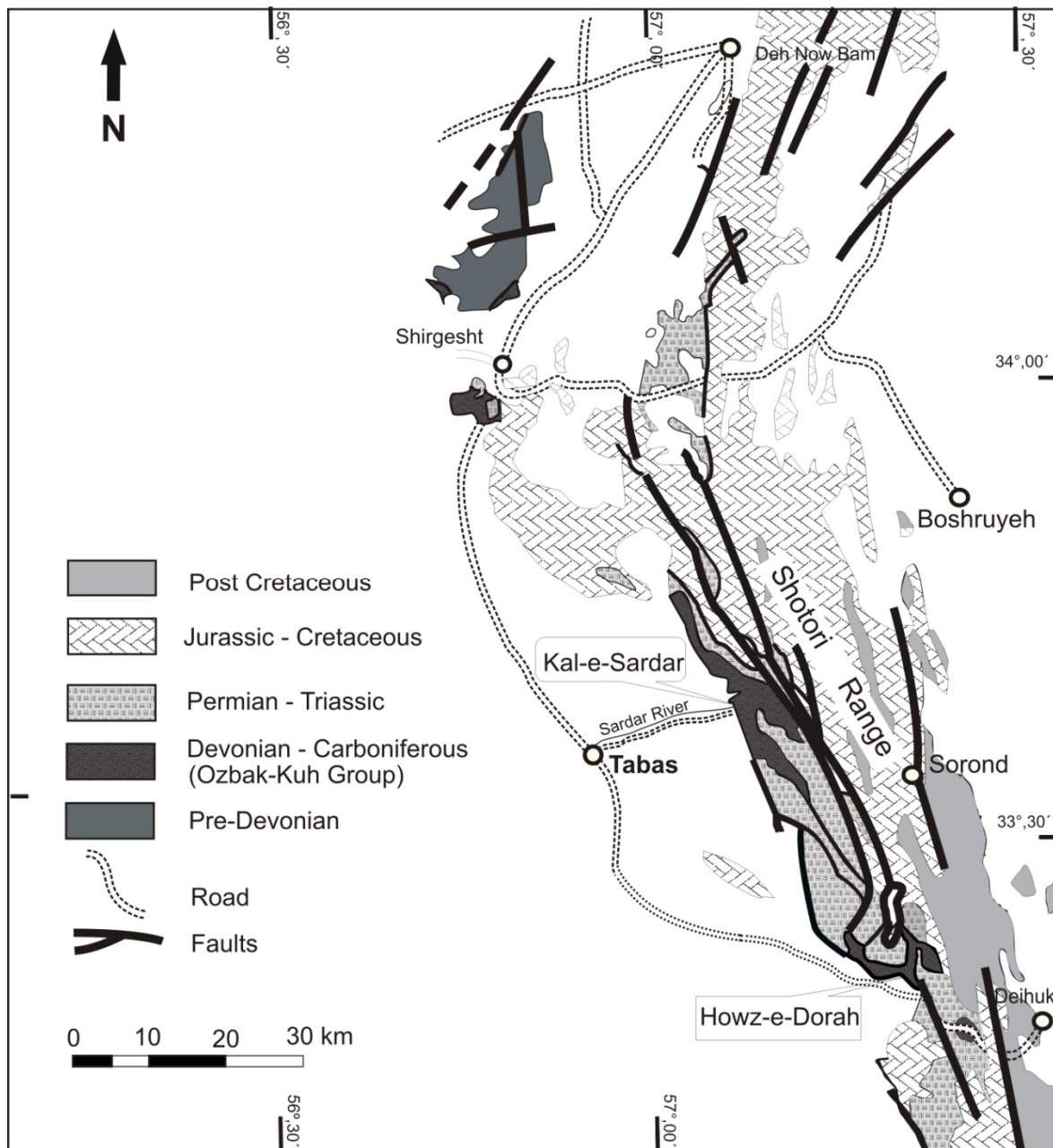
انقراضی بزرگ ۲ Kellwasser است و همین باعث شده که عده زیادی از محققین به کاوش در مورد دلیل این انقراض Sandberg *et al.*, (1996) و McGhee (1998) اشاره کرد. اکثر این بررسیها، با تکیه بر زیست زون بندی استاندارد کنودونتها (Ziegler & Sandberg, 1990) انجام شده که خود بر مبنای جنسهای پلاتزیک مانند *Palmatolepis* بیان گذاری شده است. لازم به یادآوری است که جنس یاد شده در رسوبات دونین پسین ایران کمیاب است و در بعضی مناطق اصلاً یافته نمی‌شود. با وجود این، زیست زون بندی در ایران نیز بر مبنای استاندارد انجام می‌گیرد.

### روش مطالعه

به منظور شناسایی دقیق فرازینین - فامینین در برش کال سردر (شرق طبس)، تعداد ۲۱ نمونه چهار کیلویی برداشته شد. سپس نمونه‌ها به مدت چهار روز در محلول بافر اسید استیک با غلظت ۲۰٪ قرار گرفتند. پس از شستشو، بخشی از



شکل ۱: نقشه ایران همراه با واحدهای اصلی ساختاری آن؛ محل برش مورد مطالعه در شرق طبس نشان داده شده است.



شکل 2: نقشه زمین‌شناسی کوههای شتری همراه با موقعیت برش کال سردر در شرق طبس (ترسیم مجدد و برگرفته از Stöcklin et al., 1965).

تغییرات ایزوتوپهای اکسیژن و کربن در برخی برشهای ناحیه کرمان پرداخته‌اند. Mahmudy Gharaie (2003, 2004) به مطالعه ژئوشیمی رسوبی مرز فرازینین – فامینین در البرز مرکزی و ایران مرکزی پرداخته‌اند. Wendt et al. (2002, 2005) مرز فرازینین – فامینین را در برخی برشهای البرز و ایران مرکزی بر مبنای مجموعه‌های اندکی از کنودونت و یا سایر گروههای سنگواره‌ای بنیان گذارده‌اند. از جمله مناطقی

**پیشینه مطالعه مرز فرازینین – فامینین در ایران**  
اولین گزارش وجود فونای کنودونتی قاعده‌ی فامینین در ایران توسط Ashouri (1990) ارائه شده است. همچنین Yazdi (1999) این مرز را در برش حوض دوراه (جنوب کوههای شتری)، در میانه یک واحد تخریبی (لایه 12) تعیین کرده که بر مبنای حضور گونه *An. curvata* (Dastanpour & Aftabi, 2000) نیز به بررسی می‌باشد.

بزرگ دونین (معادل Lower Kellwasser event) باشد. سازند شیشتو نیز به دو عضو 1 و 2 تقسیم شده است. بهترین رخمنهای این سازند در کوههای شتری (جنوب و شرق طبس) وجود دارد که توسط Stöcklin *et al.* (1965) به عنوان برشهای مرجع سازند شیشتو معرفی شده‌اند. بر اساس Stöcklin & Setudehnia (1991)، سن سازند شیشتو برابر با فرازنین تا ویژن می‌باشد. Yazdi (1999) نیز سن فرازنین - ویژن را تأیید می‌کند، در حالی که Ashouri (1990) معتقد به سن فرازنین - تورنیزین می‌باشد. مطالعه پالینومورفها در برش الگو (ازبک کوه) نیز سن فرازنین - فامنین را برای سازند شیشتو اثبات کرده است (Hashemi & Playford, 1998).

در شمال دره رودخانه سردر، برشهایی از پاره سازند شیشتو<sup>1</sup> (دونین پسین) وجود دارد که به وسیله گسلهای متعددی از هم جدا شده‌اند و همگی آنها بر روی شیلهای سازند سردر رانده شده‌اند. تاکنون مطالعات اندکی بر روی این لایه‌ها انجام شده که از آن جمله می‌توان به Walliser (1966) و Yamini & Ashouri (2006) اشاره کرد که پابرسران موجود در آنها را بررسی کرده‌اند. علاوه بر این، Becker *et al.* (2004) به مطالعه پابرسران فامنین میانی و حادثه Hairapetian & Korn Annulata در این منطقه پرداخته‌اند. Korn (2011) نیز گونه جدیدی از جنس *Beloceras* را در این منطقه معرفی کرده‌اند. Gholamalian *et al.* (2009) زیست چینه نگاری بخش فامنین برش کال سردر را بر اساس کنودونتها انجام داده‌اند. همچنین Ashouri (2002) و Yazdi (1999) به مطالعه برخی لایه‌های حاوی کنودونت پرداخته‌اند. Gholamalian (2007) به بررسی مرز فرازنین - فامنین پرداخته، گرچه در آن زمان گونه‌های شاخص شروع فامنین (مانند *Palmatolepis triangularis*) را نیافته است. لذا در تحقیق حاضر در نظر است با توجه به داده‌های نوین به دست آمده، زیست زون بندی مرز فرازنین - فامنین با

که توسط این محققین بررسی شده می‌توان به برشهای هوتك و هجدک (کرمان)، حوض دو راه (طبس)، خوش بیلاق (البرز شرقی) و انارک اشاره کرد.

Gholamalian (2007) به مطالعه مرز فرازنین - فامنین در چهار برش حوض دوراه، قلعه کلاگو، کال سردر (طبس) و چاهریسه (اصفهان) پرداخته است. بررسیهای وی نشان داده اساساً توالی چینه‌ای دربردارنده این مرز در منطقه جنوب کوههای شتری (حوض دوراه و قلعه کلاگو) ناپیوسته است. با وجود همه تلاشها، به دلیل عدم دستیابی به گونه شاخص فامنین، هیچ یک از محققین یاد شده نتوانسته‌اند مرز را به دقت و با دلایل محکم دیرینه‌شناسی تعیین نمایند. در این پژوهش تلاش شده تا داده‌های کاملتری در مورد توالی دونین برش کال سردر ارائه شود و با توجه به لایه‌های غنی از کنودونت و یافت شدن گونه‌های شاخص در آن، به تعیین دقیق مرز فرازنین - فامنین پرداخته شود.

### سنگ چینه نگاری

چینه‌های دونین بالایی ایران مرکزی با دو سازند بهرام و شیشتو شناخته می‌شوند که توسط Ruttner *et al.* (1965) معرفی گردیده‌اند. در سالهای اخیر، مطالعات چندی بر روی توالیهای معادل سازند بهرام در ایران مرکزی به ویژه اطراف کرمان انجام شده که در برخی از آنها مانند هجدک، سازند یاد شده، سن ژیوتین پسین تا فامنین پیشین دارد (Gholamalian & Kebriaei, 2008). سازند بهرام و توالیهای معادل آن با داشتن مرجانهای کلنسی روگوزا و تابولاتا و استروماتوپورید همراه بازوپیان فراوان شناخته می‌شود که در سالهای اخیر توسط Rohart (1999) و Brice *et al.* (2000) مطالعه شده‌اند. طبق نظر Mistiaen *et al.* (1999)، ناپدید شدن این مجموعه‌های کلنسی ساز در بخش بالایی سازند بهرام می‌تواند اولین مرحله انقراض

ائیدی قرمز شروع می‌شود و با سنگ آهکهای مارنی نازک لایه تداوم می‌یابد (شکل 3).



شکل 4: نمای نزدیک لایه نیم متری حاوی مرجانهای لوله‌ای فاسلوئید که در میانه مقطع رخمنون دارد.

### زیست چینه نگاری

در این تحقیق 33 گونه و زیرگونه کنودونت مربوط به 5 جنس شناسایی شده که با توجه به محدوده سنی و پراکندگی آنها، ستون چینه شناسی به چهار زیست زون و یک بخش بدون سنگواره تقسیم بندی شد. زیست زون بندی بر مبنای Ziegler & Sandberg (1990) انجام شده و با زون بندی Klapper (1989) مقایسه شده است. نام جنسهای کنودونت، در این نوشتار به صورت مختصر آمده که شرح آنها بدین صورت می‌باشد:

An.= *Ancyrodella*, Ag.= *Ancyrognathus*, Pal.= *Palmatolepis*, I.= *Icriodus*, P.= *Polygnathus*

### Older than Upper rhenana Zone (Barren interval)

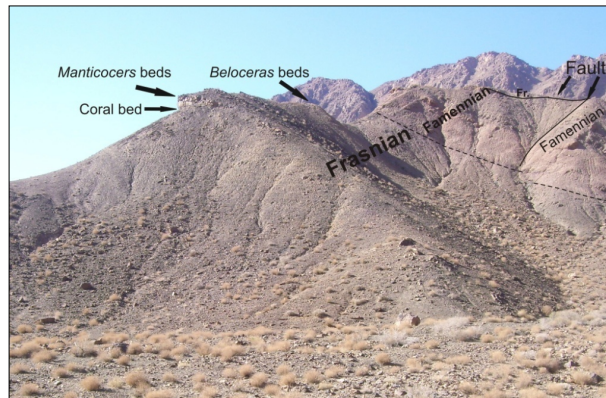
این بخش شامل 77/85 متر از نیمه پایینی برش بوده و سنگهای تخریبی بیشترین سهم را در آن دارند و به همین دلیل این لایه‌ها، قادر کنودونت هستند. بنابراین سن این قسمت فقط بر اساس موقعیت چینه شناسی مشخص می‌شود.

### Upper rhenana Zone

این زیست زون از متر از 77/85 قاعده برش تا 95/5 متری ضخامت دارد. پیدایش گونه *An. buckeyensis* در نمونه N

دقت بیشتری انجام گردد.

توالی مورد بررسی در این مقاله با یک واحد شیل سیلیسی خاکستری تیره همراه با میان لایه‌های ماسه سنگ شروع می‌شود که 62/6 متر ضخامت دارد و با یک شیل 14/7 متری ادامه می‌یابد. یک واحد سنگ آهک نازک لایه به ضخامت 0/45 متر نیز در میانه این بخش قرار دارد. سنگ آهکهای قرمز رنگ متوسط لایه ایلیدی حاوی پابرسران به ضخامت 5/4 متر از واحدهای شاخص در این منطقه است که حاوی پابرسران فراوانی است و در نیم متر پایینی آن مرجانهای روگوزای فاسلوئید دیده می‌شوند (شکلهای 3 و 4). ستون سنگ چینه‌ای با تناوب شیلهای سیاه و سنگ آهکهای ایلیدار و نازک لایه ادامه می‌یابد و در ادامه آن، 2/4 متر سنگ آهک نازک لایه کرم رنگ حاوی سنگواره *Beloceras sardarensis* وجود دارد که غنی از کنودونت می‌باشد (شکل 5، جدول 1). Yazdi (1999) نیز گونه *Beloceras tenuistriatum* را از این لایه‌ها گزارش کرده است.



شکل 3: نمای کلی پاره سازند شیشه‌تو 1 در برش کال سردر. لایه‌های کلیی با پیکان نشان داده شده‌اند. مرز فرازین - فامینین نیز با خطوط بریده نمایان شده است.

شیلهای سیاه دانه ریز به ضخامت 8/8 متر همراه با یک لایه 10 سانتی‌متری سنگ آهک در بخش بالای آن (لایه Zk13)، بالاترین واحد سنگی مربوط به فرازین را تشکیل می‌دهند. توالی فامینین هم با 1/3 متر سنگ آهک

آخر *linguiformis* Zone تداوم داشته باشد. گونیاتیت *Beloceras sardarens* نیز در لایه‌های سنگ آهکی *Hairapetian & Korn* (2011) قاعده همین زیست زون، توسط (Mطالعه شده است).

#### Lower – Middle *triangularis* zones

این زیست زون با پیدایش گونه *Pal. triangularis* شروع می‌شود. این گونه شاخص شروع فامینین بوده و مرز فرامینین - فامینین دقیقاً در قاعده لایه‌ای قرار می‌گیرد که گونه *Pal. triangularis* برای اولین بار در آن ظاهر می‌شود (Ziegler & Sandberg, 2000; Klapper, 1989). این زون از متراز 105/4 نسبت به قاعده برش شروع شده و در متراز 106/1 پایان می‌یابد.

#### Upper *triangularis* Zone

شروع این زیست زون با پیدایش گونه *Pal. tenuipunctata* در لایه H2 می‌باشد (Gholamalian et al., 2009). پایان آن نیز با یافته شدن *Pal. crepida* در ابتدای زیست زون بعدی است. سایر گونه‌های مهم موجود در این زون شامل *P. brevilaminus*, *P. tenellus*, *Pal. triangularis*, *I. alternatus* و *I. alternatus alternates dichonovitchi* *mawsonae* می‌باشند.

#### Lower *crepida* Zone

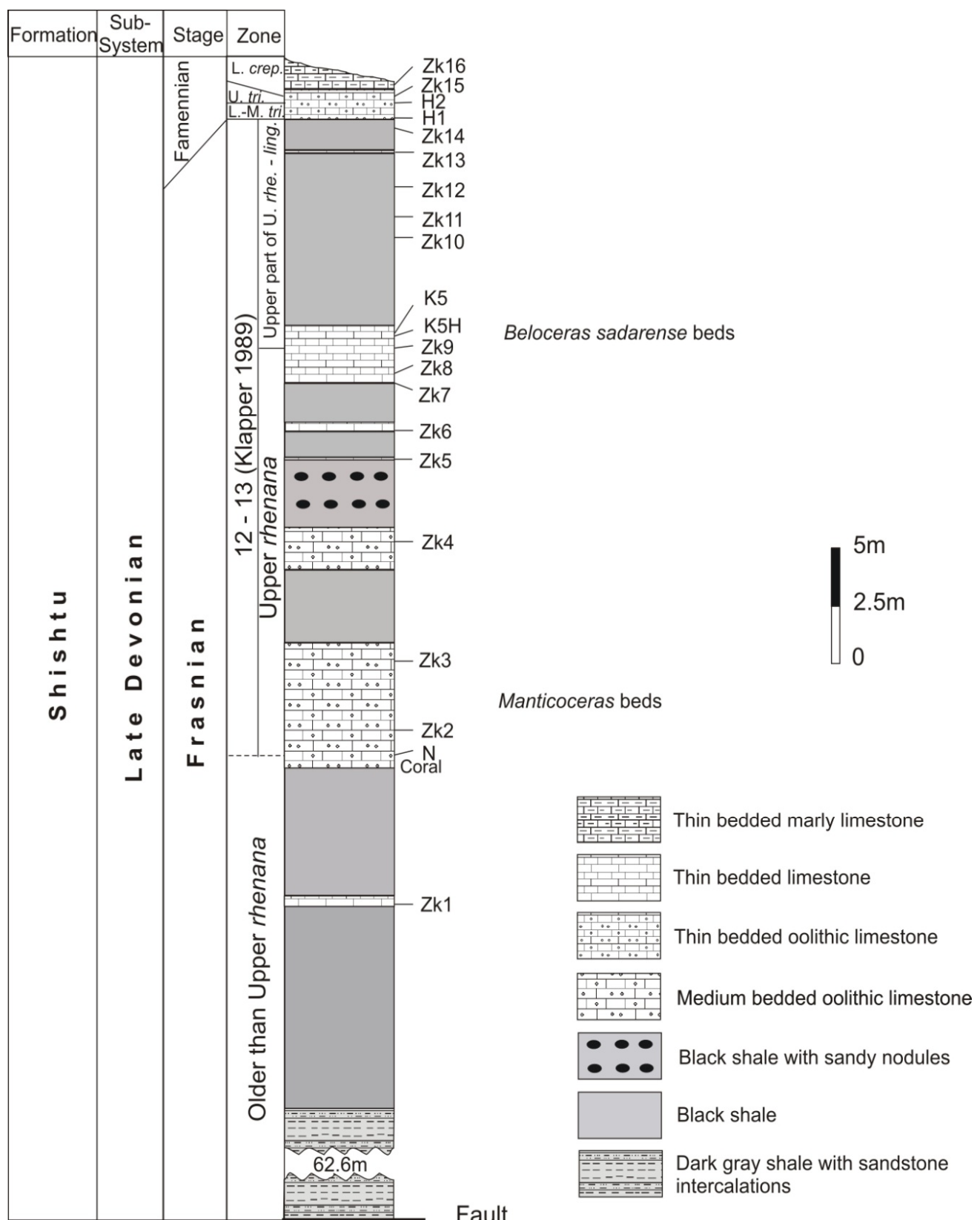
شروع این زیست زون با اولین پیدایش گونه‌های *Pal. minuta loba* و *Pal. crepida* شناخته می‌شود. طبق نظر Ji & Ziegler (1993)، هر دوی این گونه‌ها، Lower *crepida* - محدوده سنی برابر زیست زونهای Lower *rhomboidea* دارند. گونه‌های مهم دیگری که در این زیست زون حضور دارند، *Pal. triangularis*, *I. alternatus alternatus* و *P. lanceolus* هستند. پلیتهاي 1 تا 3 کنودونتهای شناسایی شده در این پژوهش را نشان می‌دهد.

آن شروع می‌شود و خود با پیدایش گونه‌ی *Pal. winchelli* در قاعده زیست زون بعدی پایان می‌یابد. بر اساس نظر Over (1997)، این گونه سنی برابر زیست زونهای 12 تا 13 مربوط به Klapper (1989) (ذاسته و معادل زیست زونهای استاندارد *Upper rhenana* تا *linguiformis* می‌باشد). از سایر گونه‌های شاخص موجود در این بخش می‌توان به *I. alternatus*, *Ag. triangularis*, *An. curvata*, *P. Pal. hassi*, *I. alternatus mawsonae*, *alternatus webbi* و *P. politus evidens* اشاره کرد. در این میان، گونه *P. politus* سنی معادل زیست زونهای *Ovnatanova* & (دارد *linguiformis* تا *rhenana*) (Kononova, 2001, 2008).

#### Upper part of *Upper rhenana - linguiformis* zones

این زیست زون 9/9 متر ضخامت داشته و گستره‌ای معادل با متراز 95/5 تا 105/4 را دربرمی‌گیرد. شروع این زیست زون با پیدایش *I. iowaensis* در نمونه‌ی Zk9 می‌باشد. زیر گونه یاد شده بر اساس نظر Ziegler & Sandberg (1990، صفحه 21)، در بالاترین بخش زیست زون *Upper rhenana* Zone ظهور می‌یابد و در این صورت، پیدایش آن می‌تواند شاخصی برای شروع این بیوزون باشد. همچنین گونه‌های متعدد دیگری مانند *Pal. winchelli* نیز همین سن را تأیید می‌کنند. طبق نظر Klapper & Foster (1993)، گونه *Pal. winchelli* سنی معادل زیست زونهای 12 تا 13 دارد که آن هم برابر زیست زونهای *Upper rhenana - linguiformis* می‌باشد.

سایر گونه‌های مهم موجود در این زیست زون عبارتند از: *P. aequalis*, *P. evidens*, *P. krestovnikovi*, *P. webbi*, *P. procerus*, *P. politus*, *P. planarius*, *P. ashourii*, *P. imparilis*, *Pal. gigas*, *gigas*, *Pal. hassi*, *I. alternatus alternatus*, *P. planarius* که قبل از برابر زونهای Lower *hassi* - *Upper rhenana* محدوده سنی گونه بود، به نظر می‌رسد که تا



شکل ۵: ستون چینه شناسی برش کال سردر همراه با زیست زون بندی که بر اساس استاندارد Ziegler & Sandberg (1990) انجام شده و با زیست زونهای L.-M. tri.= Lower to Middle triangularis, U. tri.= Upper triangularis (Klapper 1989) مقایسه شده است. زیست زونهایی که به صورت مخفف نوشته شده‌اند بدین شرح هستند: Z. crep.= Lower crepidinae

که در آن بازه زمانی، بلوکهای ایران مرکزی را به صورت فرابوم - فربوم درآورده‌اند (Gholamalian et al., 2009).

### نتیجه‌گیری

پژوهش حاضر منجر به شناسایی ۵ جنس و ۳۳ گونه و زیرگونه کنودونتی گردید که با توجه به پراکندگی آنها، ۵ زیست زون شناخته شد. پیدایش گونه *Palmatolepis triangularis* در لایه قاعده فامنین برش کال سردر (H1)، باعث شناخت دقیق مرز فرازنین - فامنین شده است. رخساره زیستی در بخش فرازنین از icriodid-polygnathid تبدیل شده که افزایش نسبی عمق را نشان می‌دهد، در حالی که سطح آب دریا در ابتدای فامنین با یک آفت سریع روبرو شده و بعد در طول فامنین دوباره حوضه عمیق‌تر شده است. همچنین محدوده سنی جدیدی (*P. planarius* - *Lower hassi* - *linguiformis*) برای گونه *linguiformis* پیشنهاد می‌شود.

### سپاس‌گزاری

نگارندگان از آقایان احمد شفیعی و سیامک سرافراز که در کار صحرایی و نمونه برداری یاری‌رسان بوده‌اند، قدردانی می‌نمایند. آقای سید هادی سجادی در مراحل عکس‌برداری صحرایی و آماده سازی نمونه‌ها همکاری داشته‌اند که مورد تقدیر است. همچنین از آقای بهنام رحمانی (شرکت تحقیقاتی رازی) به خاطر تهیه عکس‌های SEM تشکر می‌شود.

### رخساره زیستی کنودونتها

در مطالعه حاضر سعی شده که با شمارش تعداد عناصر مربوط به جنسهای مختلف و مقایسه با مدل‌های ارائه شده جهانی، رخساره‌های زیستی شناسایی شده و در نهایت نوع محیط رسواب‌گذاری مشخص گردد. مفاهیم بنیادی رخساره زیستی کنودونتی توسط Pohler & Barnes (1990) تعریف شده‌اند. از جمله مدل‌های مورد استفاده در این پژوهش Sandberg & Sandberg (1998) و Dreesen (1988) اشاره کرد. در پایین ترین نمونه به دست آمده از برش کال سردر (نمونه N) جنس *Icriodus* برتری دارد و رخساره زیستی icriodid - polygnathid حاکم می‌باشد. در میانه برش (نمونه‌های K5H, K5, Zk9) جنس *Polygnathus* بیش از ۸۰٪ زیای کنودونتی را تشکیل داده که خود رخساره polygnathid را نشان می‌دهد. این حالت شبیه وضعیت موجود در بخش بالایی زیست زون White House Pass نوادای *linguiformis* آمریکاست که توسط Sandberg et al. (1988) مطالعه شده است. این شرایط در ابتدای فامنین تغییر کرده و مجدداً جنس *Icriodus* فراوانتر می‌شود و این بار رخساره icriodid - بر منطقه حاکم شده است. این رخساره نشانگر کم عمق شدن شدید محیط رسوی در مرز فرازنین - فامنین است. در طول فامنین رخساره دوباره عمیق‌تر شده، به طوری که شرایط محیط رسوی در منطقه کال سردر با مناطق دیگر ایران مرکزی و البرز متفاوت گشته است. این اختلافات به احتمال زیاد به عملکرد مجموعه گسلهای شمالی - جنوبی (به خصوص گسل نایبند) مربوط می‌باشد.

### Plate 1

All figures are X45

- 1- *Ancyrodella nodosa* Ulrich and Bssler, 1926, upper view of HUIC638, sample Zk9.
- 2, 3, 6- *Ancyrodella curvata* (Branson and Mehl, 1934a), 2) upper view of HUIC639, sample Zk3, 3) upper view of HUIC640, sample Zk3, 6) upper view of HUIC641, sample K5H.
- 4- *Ancyrodella lobata* Branson and Mehl, 1934, upper view of HUIC642, sample K5.
- 5- *Ancyrodella buckeyensis* Ulrich and Bassler, 1926, upper view of EUIC 82106, sample K5H.
- 7, 8, 9- *Ancyrognathus triangularis* Youngquist, 1945, 7) upper view of HUIC643, sample K5H, 8) upper view of HUIC644, sample K5H, 9) upper view of HUIC645, sample Zk9.
- 10- *Ancyrognathus sinelaminus* Branson and Mehl, 1934, upper view of HUIC646, sample Zk16.
- 11, 12- *Icriodus iowaensis iowaensis* Youngquist and Peterson, 1947, 11) upper view of HUIC647, sample Zk9, 12) upper view of HUIC648, sample K5.
- 13, 14- *Icriodus alternatus mawsonae* Yazdi, 1999, 13) upper view of HUIC649, sample K5, 14) upper view of HUIC650, sample Zk9.
- 15, 16- *Icriodus alternatus alternatus* Branson and Mehl, 1934a, 15) upper view of HUIC651, sample Zk3, 16) upper view of HUIC680, sample Zk16.
- 17- *Icriodus cornutus* Sannemann, 1955a, upper view of HUIC226, sample H2.
- 18, 19- *Palmatolepis triangularis* Sannemann, 1955, 18) upper view of HUIC652, sample Zk16, 19) upper view of HUIC653, sample Zk16.
- 20- *Palmatolepis minuta loba* Helms, 1963, upper view of HUIC654, sample Zk16.
- 21- *Palmatolepis crepida* Sannemann 1955, upper view of HUIC655, sample Zk15.
- 22, 23- *Palmatolepis hassi* Müller and Müller, 1957, 22) upper view of HUIC656, sample K5H, 23) upper view of HUIC657, sample K5.

### Plate 2

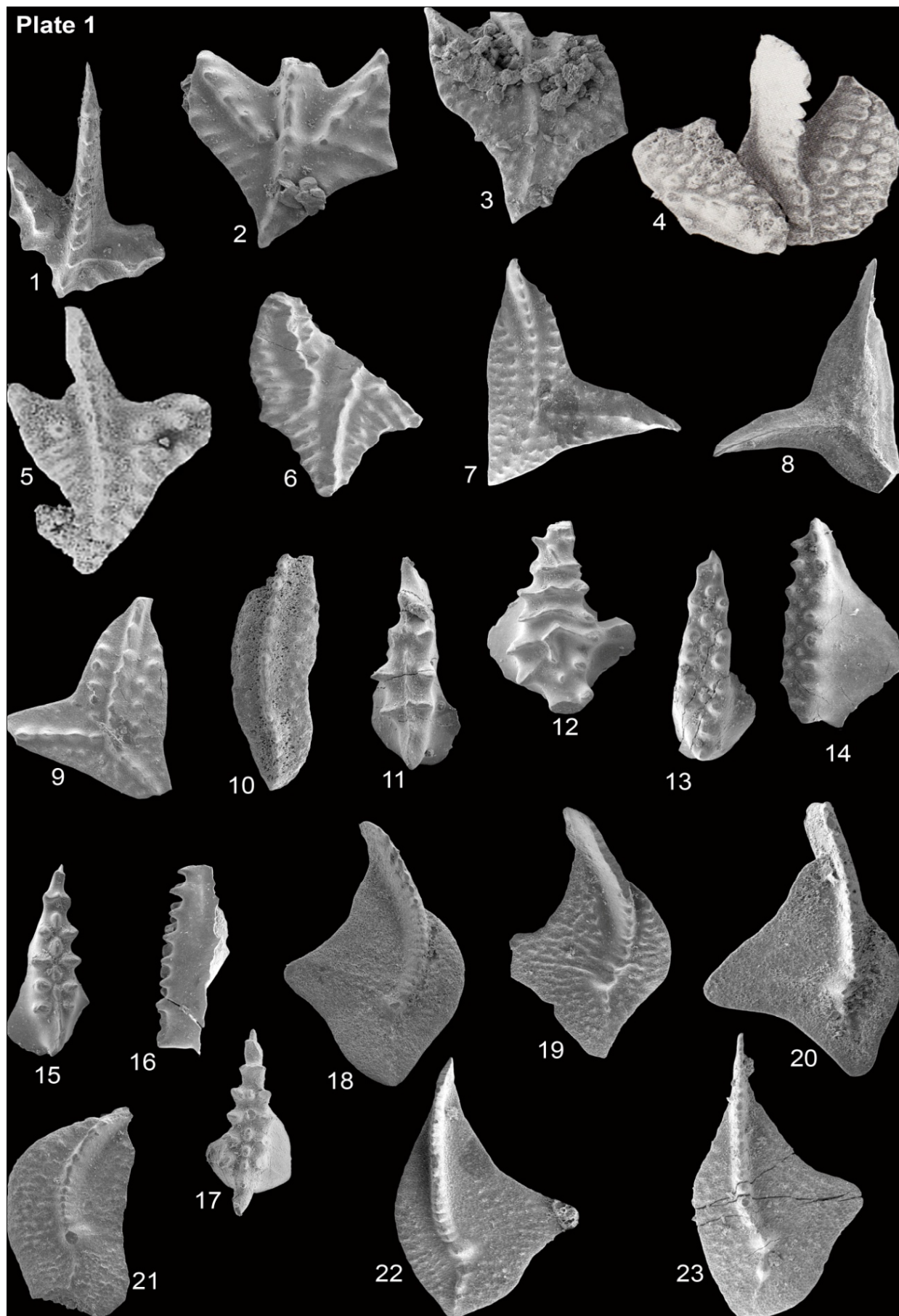
Figs 1-5 are X45, others are X55.

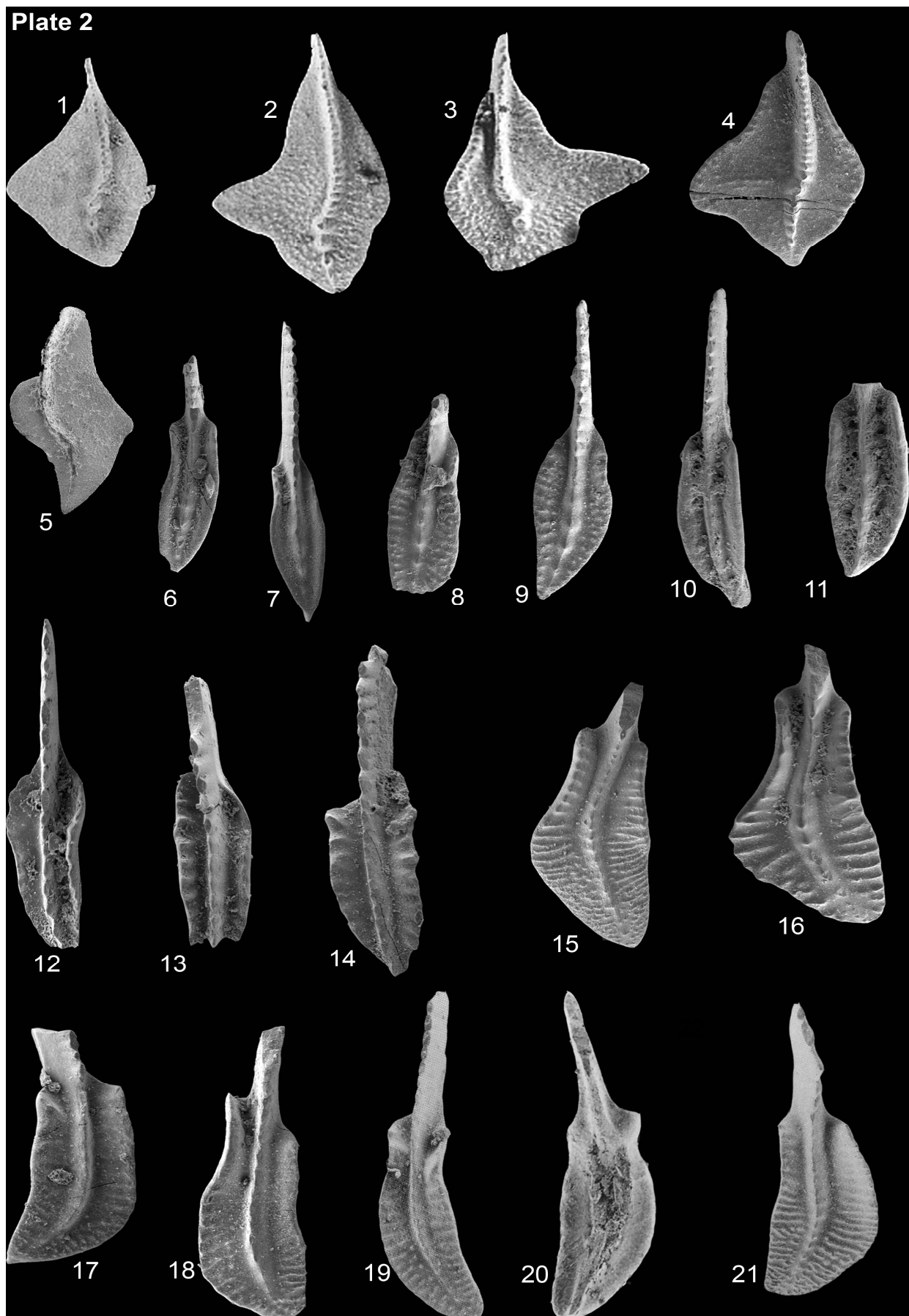
- 1- *Palmatolepis hassi* upper view of EUIC 82110, sample K5H, Kal-e-Sardar.
- 2, 3- *Palmatolepis winchelli* (Stauffer, 1938), 2), upper view of EUIC82108, sample K5H, 3) upper view of EUIC82109, sample K5.
- 4- *Palmatolepis gigas gigas* Miller and Younquist, upper view of HUIC683, sample K5.
- 5- *Palmatolepis tenuipunctata* Sannemann, 1955, upper view of HUIC294.
- 6, 7- *Polygnathus politus* Ovnatanova, 1969, 6) upper view of HUIC658, sample Zk3, 7) upper view of HUIC681, sample Zk5.
- 8, 9- *Polygnathus* sp., 8) upper view of HUIC659, sample Zk3, 9) upper view of HUIC660, sample Zk5.
- 10- *Polygnathus bevilaminus* Branson and Mehl, 1934a, upper view of HUIC661, sample Zk16.
- 11- *Polygnathus lanceolus* Vorontsova, 1993, upper view of HUIC662, sample Zk16.
- 12, 13- *Polygnathus tenellus* Ji and Ziegler, 1993, 12) upper view of HUIC663, sample Zk16, 13) upper view of HUIC664, sample Zk16.
- 14- *Polygnathus tichonovitchi* Kuzmin and Melnikova, 1991, upper view of HUIC665, sample Zk16.
- 15- *Polygnathus kerstovnikovi* Ovnatanova, 1969, , upper view of HUIC666, sample Zk9.
- 16- *Polygnathus ashourii* Gholamalian and Kebriaei, 2008, upper view of HUIC667, sample Zk5.
- 17- *Polygnathus evidens* Klapper and Lane, 1985, upper view of HUIC668, sample Zk9.
- 18- *Polygnathus aequalis* Klapper and Lane, 1985, upper view of HUIC669, sample Zk9.
- 19, 20- *Polygnathus imparilis* Klapper and Lane, 1985, upper and lower views of HUIC670, sample K5H.
- 21- *Polygnathus planarius* Klapper and Lane, 1985, upper view of HUIC671, sample K5.

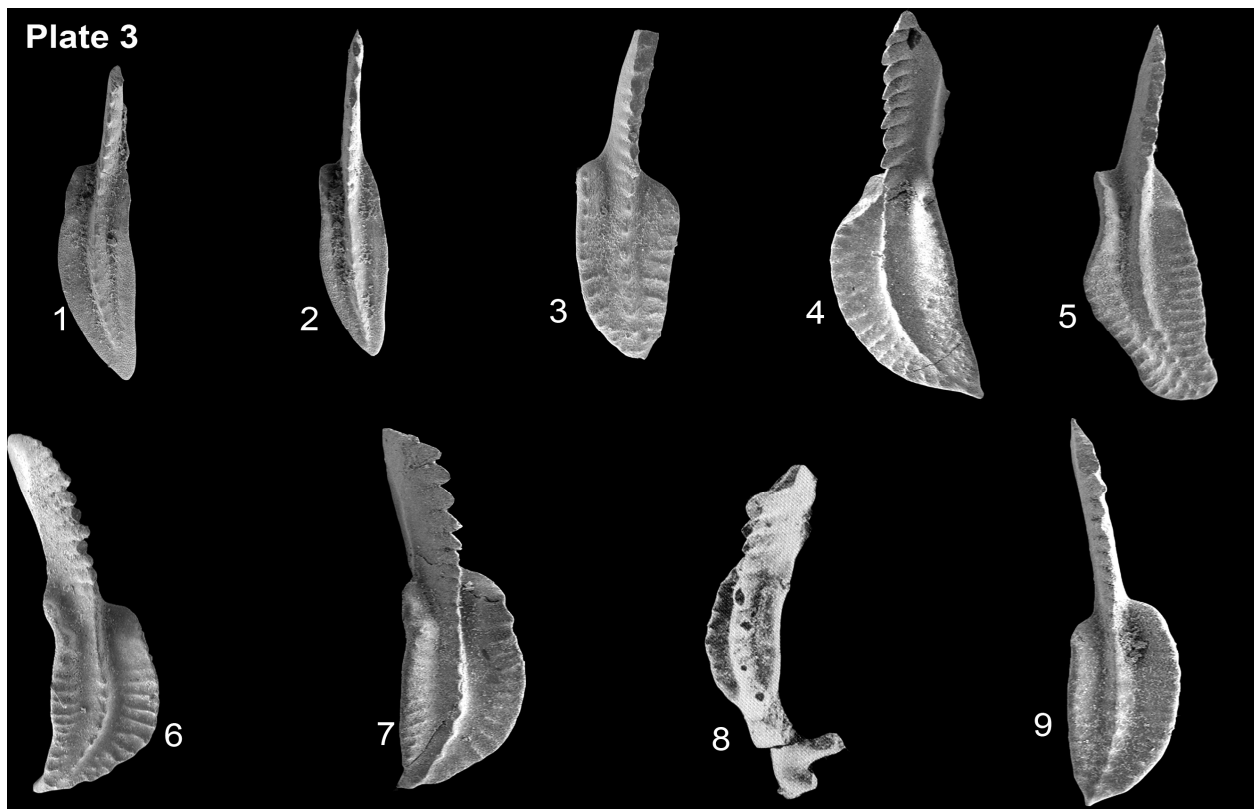
### Plate 3

All figures are X55.

- 1, 2- *Polygnathus politus* Ovnatanova, 1969, 1) upper view of HUIC672, sample Zk9, 2) upper view of HUIC673, sample Zk9.
- 3- *Polygnathus procerus* Sannemann, 1955b, upper view of HUIC674, sample Zk9.
- 4, 6, 7- *Polygnathus webbi* Stauffer, 1938, 4) upper view of HUIC675, sample Zk9, 6) upper view of HUIC676, sample Zk9, 7) upper view of HUIC677, sample Zk9.
- 5- *Polygnathus ashourii* (juvenile specimen), Gholamalian and Kebriaei, 2008, upper view of HUIC678, sample K5H.
- 8- *Polygnathus angustidiscus* Youngquist, 1945, upper view of HUIC679, sample K5.
- 9- *Polygnathus alatus* Huddle, 1934, upper view of HUIC682, sample Zk9.







جدول ۱: پراکندگی گونه‌های کنودونت در مرز فرازنین - فامنین، برش کال سردر، شرق طبس.

Zones	Upper <i>rhenana</i>					Upper Part of <i>U. rhenana - linguiformis</i>				L.-M. tri.	U. tri.	L. <i>crepida</i>			
	Species	Samples	N	Zk2	Zk3	Zk5	Zk6	Zk9	K5H	K5	Zk13	H1	H2	Zk15	Zk16
<i>An. curvata</i>		8	4	4		1					5				
<i>An. nodosa</i>								3	2	3					
<i>An. buckeyensis</i>	1								8	12					
<i>An. lobata</i>									1						
<i>Ag. triangularis</i>	4		1					76	22	31					
<i>Ag. sinelaminus</i>														2	
<i>Pal. gigas gigas</i>									2	1					
<i>Pal. hassi</i>	1							2	8	4					
<i>Pal. winchelli</i>									3						
<i>Pal. tenuipunctata</i>												1	1		
<i>Pal. triangularis</i>												3	30		15
<i>Pal. crepida</i>													3	2	
<i>Pal. minuta loba</i>														3	
<i>P. angustidiscus</i>										1					
<i>P. imparilis</i>									1						
<i>P. planarius</i>										1					
<i>P. ashouri</i>					1			1	1						
<i>P. evidens</i>	5		2					1	27	74					
<i>P. krestovnikovi</i>						2	34	2							
<i>P. politus</i>	8		4	1			504	205	239						
<i>P. webbi</i>	3	5	12	1	2	313	17	24	2						
<i>P. alatus</i>			2			15	24								
<i>P. aequalis</i>			1	1		63	7								
<i>P. tenellus</i>											1	4		9	
<i>P. brevilaminus</i>					1		1	3			3	5	28	34	
<i>P. lanceolatus</i>												14	5	3	
<i>P. tichonovitchi</i>												1	26	1	
<i>P. procerus</i>			2	1		47	116	185							
<i>P. sp.</i>			1	2		2									
<i>I. alternatus alternatus</i>	10		11			135	30	50	1	9	55	74		138	
<i>I. alternatus mawsonae</i>	4		2			1	6	10			30	1			
<i>I. alternatus helmsi</i>							10	15							
<i>I. iowaensis iowaensis</i>						2	2	4	1			1	4	1	
<i>I. cornutus</i>													9		
Unassigned elements	31	41	89	37	1	810	287	410	64	16			146	256	
Total	75	50	131	45	6	2009	782	1067	73	32	110	291	461		
Biofacies	P-I		P-I			P	P	P	P	I-P	I-P	I-P	I-P	I-P	

## References

- Ashouri, A., 1990. Devonian and Carboniferous Conodont Faunas from Iran. *PhD thesis, University of Hull*, 351 p.
- Ashouri, A.R., & Yamini, A., 2006. Cephalopods and Stratigraphical Position of Cephalopod Bed of Shishtu Formation, Iran. *Geosciences*, 15 (60): 178-187.
- Becker R.T., Ashouri A.R. & Yazdi M., 2004. The Late Devonian Annulata event in the Shotori Range (eastern Iran). *Neues Jahrbuch für Geologie und Paläontologie Abhandlungen*, 231: 119-143.
- Brice, D., Mistiaen, B. & Rohart, J.C., 1999. New data on distribution of brachiopods, rugose corals and stromatoporids in the Upper Devonian of central and eastern Iran, palaeobiogeographic implications. *Annales de la Société Géologique du Nord*, 7: 21-32
- Dastanpour, M. & Aftabi, A., 2002. The cause of biomass extinction at the Frasnian-Famennian boundary, the Kerman Province southeastern Central Iran. *Journal of Science, Islamic Republic of Iran*, 13: 45-49.
- Gholamalian, H., 2007. Conodont biostratigraphy of the Frasnian-Famennian boundary in the Esfahan and Tabas areas, Central Iran. *Geological Quarterly*, 51(4): 453-476.
- Gholamalian, H. & Kebriaei, M.R., 2008. Late Devonian conodonts from the Hojedk section, Kerman Province, southeastern Iran. *Rivista Italiana di Paleontologia e Stratigraphia*, 114(2), 171-181.
- Gholamalian H., Ghorbani, M. & Sajadi, S.H., 2009. Famennian conodonts from Kal-e-Sardar section, eastern Tabas, Central Iran. *Rivista Italiana de Paleontologia e Stratigraphia*, 115(2): 141-158.
- Hairapetian, V. & Korn, D., 2011. Phylogenetic analysis of the family Beloceratidae (Ammonoidae; Late Devonian) and a new Beloceras species from eastern Iran. *Bulletin of Geosciences*, 86(4): 675-682, Prague.
- Hashemi, H. & Playford, G., 1998. Upper Devonian palynomorphs of the Shishtu Formation, Central Iran Basin, east-central Iran. *Paleontographica Abt.*, B, 246: 115-212, 13 Plates.
- House, M.R., Becker, R.T., Feist, R., Girard, C. & Klapper, G., 2000. The Frasnian/Famennian boundary GSSP at Coumiac, southern France. *Courier Forschungsinstitut Senckenberg*, 225: 59-75.
- Ji, Q. & Ziegler, W., 1993. The Lali section. An excellent reference section for Upper Devonian in south China. *Courier Forschungsinstitut Senckenberg*, 157: 183 p.
- Klapper, G., 1989. The Montagne Noire Frasnian (Upper Devonian) conodont succession. In: Mcmillan, N.J. Embry, A.F. & Glass, D.G., (eds.), Proceedings of the Second International Symposium on the Devonian System. *Canadian Society of Petroleum Geologists*, 3: 449-468.
- Klapper, G., Feist, R., Becker, R.T. & House, M.R., 1993. Definition of the Frasnian/ Famennian stage boundary. *Episodes*, 16: 433-441.
- Klapper, G., & Foster, C.T., 1993. Shape analysis of Frasnian species of the Late Devonian conodont genus *Palmatolepis*. *Journal of Paleontology*, 67 (supplement to no. 4, mem. 32): 1-35.
- Mahmudy Gharaie, M.H., Matsumoto, R., Kakuwa, Y., Milroy, P.G., 2003. Geochemical evidence for environmental changes at Frasnian–Famennian boundary leading to the mass extinction. *Geochimica et Cosmochimica Acta*, 67, (supplement 1 to no. 18): A268.
- Mahmudy Gharaie, M.H., Matsumoto, R., Kakuwa, Y., Milroy, P.G., 2004. Late Devonian facies variety in Iran: volcanism as a possible trigger of the environmental perturbation near the Frasnian – Famennian boundary. *Geological Quarterly*, 48-4: 323-332.
- McGhee, G.R. Jr., 1996. The Late Devonian mass extinction, the Frasnian/Famennian crisis. In: Bottjer, D., & Bambach, R.K., (eds.), Critical Moments in Paleobiology and Earth History Series. *Columbia University Press*, New York.303 p.
- Mistiaen, B. & Gholamalian, H., 2000. Stromatoporoids and some tabulate corals from Chahriseh area (Esfahan Province, Central Iran). *Annales de la Société Géologique du Nord*, 8: 81-91.
- Mistiaen B., Gholamalian H., Gourvennec R., Plusquellec Y., Bigey F., Brice D., Feist M., Feist R., Ghobadi Pour M., Kebria-ee M.R, Milhau B., Nicollin J. P., Rohart J.C., Vachard D. & Yazdi M., 2000. Preliminary data on the Late Devonian (Frasnian, Famennian) and Permian fauna and flora from the Chahriseh area (Esfahan Province, central Iran). *Annales de la Société Géologique du Nord*, 8: 93-102.
- Morrow, J., 2000. Shelf to basin lithofacies and conodont paleoecology across Frasnian/Famennian (F-F, mid-Late Devonian) boundary, central Geat Basin (western U. S. A.). *Courier Forschungsinstitut Senckenberg*, 219: 1-57.

- Over, J.D., 1997. Conodont biostratigraphy of the Java Formation (Upper Devonian) and the Frasnian-Famennian boundary in western New York State. *Geological Society of America Special Paper*, 321: 161-177.
- Ovnatanova, N.S., & Kononova, L.I., 2001. Conodonts and Upper Devonian (Frasnian) biostratigraphy of central regions of Russian platform. *Courier Forschungsinstitut Senckenberg*, 233: 115 p.
- Ovnatanova, N.S. & Kononova, L.I., 2008. Frasnian Conodonts from the Eastern Russian Platform. *Paleontological Journal*, 42-10: 997-1166.
- Pohler, S.M., & Barnes, C.R., 1990. Conceptual models in conodont paleoecology. *Courier Forschungsinstitut Senckenberg*, 118: 409-440.
- Racki, G., 2005. Toward understanding Late Devonian global events: few answers, many questions. In: Over, D.J., Morrow, J.R., & Wignall, P.B. (eds.), Understanding Late Devonian and Permian-Triassic Biotic and Climatic Events: Toward an Integrated Approach, Developments in Palaeontology and Stratigraphy, Elsevier, Amsterdam. 20: 5-36.
- Racki, G., & House, M.R., (eds.), 2002. Late Devonian biotic crisis: ecological, depositional and geochemical records. *Palaeogeography, Palaeoclimatology, Palaeoecology*, 181(1-3): 374 p.
- Rohart, J.C., 1999. Palaeozoic rugose corals from central and eastern Iran (A. F. de Lapparent & M. Zahedi collections). *Annales de la Société Géologique du Nord*, 7: 47-70.
- Ruttner, A., Nabavi, M.H., & Alavi, M., 1965. Geology of Ozbak-Kuh Mountains (Tabas area, East Iran). *Geological Survey of Iran*. 133 p. (unpublished).
- Sandberg, C.A. & Dreesen, R., 1984. Late Devonian icriodontid biofacies models and alternate shallow water conodont zonation. In: Clark, D.L. (ed.), Conodont biofacies and provincialism. *Geological Society of America Special Papers*, 196: 143-178.
- Sandberg, C.A., Ziegler, W., Dreesen, R., & Butler, J., 1988. Late Frasnian mass extinction. Conodont event stratigraphy, global changes and possible causes. *Courier Forschungsinstitut Senckenberg*, 102: 263-307.
- Stöcklin, J., Eftekhar-Nezhad, J. & Hushmandzadeh, A., 1965. Geology of Shotori Range (Tabas area, east Iran). *Geological Survey of Iran*, Report, 3: 69 p.
- Stöcklin, J. & Setudehnia, A., 1991. Stratigraphic Lexicon of Iran. *Geological Survey of Iran*, Report, 18: 376 p.
- Walliser, O.H., 1966. Devonian and Carboniferous goniatites in Iran, contribution to the Palaeontology of East Iran. *Geological Survey of Iran*, Report, 6: 57 p.
- Wendt, J., Kaufmann, B., Belka, Z., Farsan, N. & Karimi-Bavandpour, A., 2002. Devonian/Lower Carboniferous stratigraphy, facies patterns and palaeogeography of Iran, part I, southeastern Iran. *Acta Geologica Polonica*, 52-2: 129-168.
- Wendt, J., Kaufmann, B., Belka, Z., Farsan, N. & Karimi-Bavandpour, A., 2005. Devonian/Lower Carboniferous stratigraphy, facies patterns and palaeogeography of Iran, part II, northern and central Iran. *Acta Geologica Polonica*, 55-1: 131-97.
- Yazdi, M., 1999. Late Devonian-Carboniferous conodonts from eastern Iran. *Rivista Italiana di Paleontologia e Stratigraphia*, 105: 167-195.
- Ziegler, W. & Sandberg, C.A., 1990. Late Devonian standard conodont zonation. *Courier Forschungsinstitut Senckenberg*, 121: 115 p.
- Ziegler, W. & Sandberg, C.A., 2000. Utility of palmatolepids and icriodontids in recognizing Upper Devonian series, stages and possible substage boundaries. *Courier Forschungsinstitut Senckenberg*, 225: 335-437.

## New data on the Frasnian/Famennian boundary in Kal-e-Sardar section, Eastern Tabas (Central Iran)

**Golamalian, H.<sup>1\*</sup>, Zarei, N.<sup>2</sup>, Hairapetian, V.<sup>3</sup>, Parvaneh-Nezhad Shirazi, M.<sup>4</sup>**

1- Assistant Professor, Department of Geology, Faculty of Sciences, Hormozgan University, Bandar Abbas, Iran

2- M.Sc. in Stratigraphy & Paleontology, Department of Geology, Payam-e-Nour University, Tehran, Iran

3- Assistant Professor, Department of Geology, Faculty of Sciences, Islamic Azad University, Khorasan Branch, Iran

3- Associate Professor, Department of Geology, Payam-e-Nour University, Tehran, Iran

\*E-mail: hossein.gholamalian@yahoo.com

### Abstract

Frasnian - Famennian boundary in the Kal-e-Sardar section (East of Tabas, Central Iran) is investigated on the basis of conodonts. Distribution of thirty-three species and subspecies in the stratigraphic column enables us to recognize a barren interval and five biozones; Upper *rhenana*, upper part of Upper *rhenana* - *linguiformis*, Lower to Middle *triangularis*, Upper *triangularis*, Lower *crepida*. Biofacies analysis shows a deepening trend through the Late Frasnian and then a sharp sea level fall present at the base of early Famennian sequences. Deeper environment governs through the Famennian stage. A new range is proposed for *P. planarius*; Lower *hassi* - *linguiformis* zones.

**Keywords:** Frasnian; Famennian; conodonts; biozones; Kal-e-Sardar; central Iran.